

一. 选择填空

| | | | | | | | | | | |
|-----|------|------|------|------|------|------|------|------|------|------|
| 空格号 | (1) | (2) | (3) | (4) | (5) | (6) | (7) | (8) | (9) | (10) |
| 答案 | B | B | D | C | B | A | C | C | B | C |
| 空格号 | (11) | (12) | (13) | (14) | (15) | (16) | (17) | (18) | (19) | (20) |
| 答案 | C | D | D | B | A | C | D | A | C | D |
| 空格号 | (21) | (22) | (23) | (24) | (25) | (26) | (27) | (28) | (29) | (30) |
| 答案 | C | B | D | C | B | D | C | B | B | C |

1. 设 8PSK 的数据速率是 3b/s, 平均每比特能量是 $E_b=1/3$ 焦耳, 则平均每符号能量是(1)焦耳, 平均发送功率是(2)瓦。

| | | | | |
|---------|---------|-------|-------|-------|
| (1) (2) | (A) 1/3 | (B) 1 | (C) 2 | (D) 3 |
|---------|---------|-------|-------|-------|

注: 每个符号携带 3 个比特, 故每个符号的能量是 $E_s=3E_b$ 。功率是单位时间 (1s) 内的能量, 1s 内有三个比特, 故功率的数值是 $3E_b$ 。

2. 设数据速率是 10kb/s。若基带采用矩形脉冲, OOK 信号的主瓣带宽是(3); 若基带采用滚降因子为 0.5 的根号升余弦滚降, OOK 信号的带宽是(4)。

| | | | | |
|---------|----------|-----------|-----------|-----------|
| (3) (4) | (A) 5kHz | (B) 10kHz | (C) 15kHz | (D) 20kHz |
|---------|----------|-----------|-----------|-----------|

注: OOK 是一种 DSB 信号, 其奈奎斯特极限带宽等于符号速率, 为 10kHz。滚降系数 0.5 表示带宽还要增加 50%, 故为 15kHz。基带采用矩形脉冲时的主瓣带宽等于基带采用滚降因子=1 的升余弦滚降的带宽。

3. 设数据速率是 10kb/s。正交 2FSK 的两个频率之差最小是(5)kHz。正交 4FSK 相邻频率之差最小是(6)kHz。

| | | | | |
|---------|------------|----------|-----------|-----------|
| (5) (6) | (A) 2.5kHz | (B) 5kHz | (C) 10kHz | (D) 20kHz |
|---------|------------|----------|-----------|-----------|

注: 最小频差是 $\frac{1}{2T_s} = \frac{R_s}{2}$, 是符号速率的一半。 M 增大时, 符号速率减小。

4. 假设 OQPSK 的比特间隔是 T_b , 复包络是 $s_L(t) = I(t) + jQ(t)$ 。 $I(t), Q(t)$ 这两个随机过程的关系是(7)。

| | | |
|-----|-------------------------|-----------------------------|
| (7) | (A) $Q(t) = I(t - T_b)$ | (B) $Q(t)$ 是 $I(t)$ 的希尔伯特变换 |
| | (C) $I(t), Q(t)$ 不相关 | (D) $I(t) + jQ(t)$ 是解析信号 |

注: I、Q 两路传输的是独立等概数据, 故这两个随机过程不相关。

5. 若 OOK 信号的载频为 1MHz，发送功率为 1W。那么 OOK 信号的单边功率谱密度中包含冲激（线谱分量），其频率是(8)MHz，冲激强度是(9)W。

| | | | | |
|---------|----------|---------|-------|-------|
| (8) (9) | (A) 0.25 | (B) 0.5 | (C) 1 | (D) 2 |
|---------|----------|---------|-------|-------|

注：OOK 和 AM 类似，功率谱中有载频线谱分量，其功率占总功率的一半。

6. QPSK 是两个载频正交的(10)之和。

| | | | | |
|------|---------|----------|----------|----------|
| (10) | (A) OOK | (B) 2FSK | (C) 2PSK | (D) DPSK |
|------|---------|----------|----------|----------|

7. 设 2PSK 调制器的载波是 $\cos(2\pi f_c t + \theta)$ 。忽略噪声、信道以及其他因素引起的相移，设接收端科斯塔斯环提取的载波是 $\cos(2\pi f_c t + \varphi)$ 。令 $\psi = \theta - \varphi$ ，则 ψ 的可能取值是(11)。

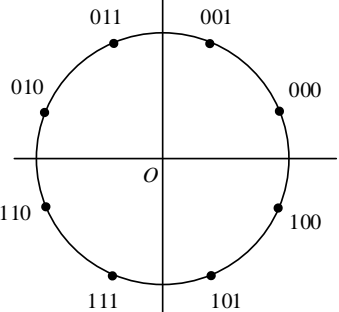
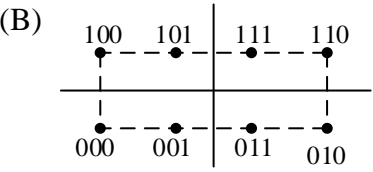
| | | | | |
|------|-------|-----------|---------------|-------------------------|
| (11) | (A) 0 | (B) π | (C) 0 或 π | (D) 区间 $[0, \pi]$ 内的任意值 |
|------|-------|-----------|---------------|-------------------------|

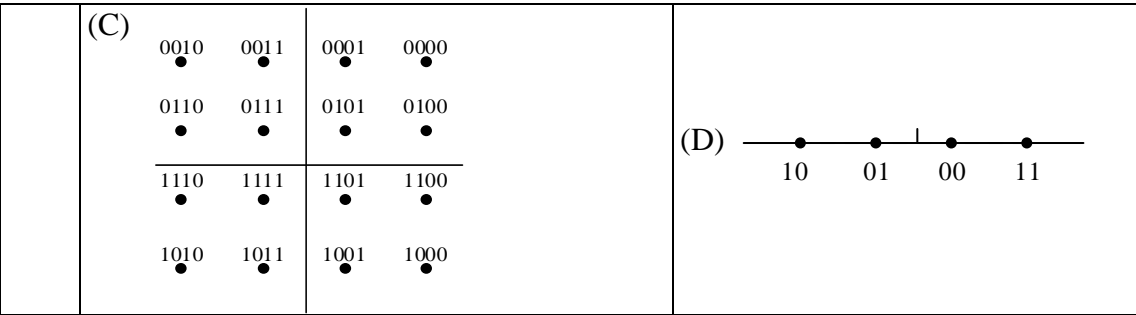
注：科斯塔斯环提取的载波有 0、 π 相位模糊。

8. 对 DPSK 进行差分相干解调时，(12)。

| | |
|------|-----------------------|
| (12) | (A) 发送端需要插入导频 |
| | (B) 接收端需要用平方环提取相干载波 |
| | (C) 接收端需要用科斯塔斯环提取相干载波 |
| | (D) 以上都不需要 |

9. 下列星座图中(13)是 4ASK，(14)是 8QAM，(15)是 8PSK，(16)是 16QAM，其中的(17)不满足格雷码映射规则。

| | | |
|--------------------------------------|---|--|
| (13) (14) (15) (16) (17) | (A)  | (B)  |
|--------------------------------------|---|--|



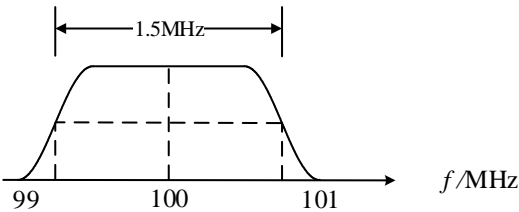
10. 对于格雷映射的 8PSK，若误符号率是 0.0003，则误比特率近似是(18)。

| | | | | |
|------|------------|------------|------------|------------|
| (18) | (A) 0.0001 | (B) 0.0003 | (C) 0.0006 | (D) 0.0024 |
|------|------------|------------|------------|------------|

注：以前图为例，假设发端将 000 对应的符号发送 1 万次，那么平均而言，收端会收到 9997 个 000,另外有 3 个不是 000。这三个出错的符号极有可能是 001 或 100。

从比特来看，发送端发送了 1 万次 000 就是发送了 3 万个“0”，收到的 9997 个正确的符号是 9997×3 个“0”，3 个错误符号基本上不是 001 就 100，每个错误符号有两个“0”，一个“1”。总之，3 万个比特中，有 3 个“1”，故比特错误率是万分之一。

11. 下图是某 8PSK 系统发送信号的单边功率谱密度图。由图可知，该系统基带脉冲成形采用的是(19)的脉冲，数据速率是(20)Mb/s，频带利用率是(21)b/s/Hz。



| | | | | |
|-----------|------------------|-------|----------------|---------|
| (19) | (A) 时域为矩形 | | (B) 频域为矩形 | |
| | (C) 频域为根号升余弦滚降特性 | | (D) 频域为升余弦滚降特性 | |
| (20) (21) | (A) 1.5 | (B) 2 | (C) 2.25 | (D) 4.5 |

注：从基带看，PAM 的功率谱密度的形状是基带脉冲傅氏变换的模平方。图中的功率谱是升余弦滚降（下降部分有互补对称性，是升起的余弦），故基带脉冲在频域是根号升余弦。

图中左右两个互补对称的点之间的宽度是 1.5MHz，说明符号速率是 1.5MBaud，因此比特速率是 1.5×3=4.5Mb/s。

12. 将二进制数据先进行差分编码, 然后进行(22)调制, 便形成了 DPSK。接收端先进行理想相干解调, 然后进行差分译码。假设理想相干解调的误比特率是 0.0002, 那么差分译码之后的误比特率近似是(23)。

| | | | | |
|------|---------|------------|------------|------------|
| (22) | (A) OOK | (B) 2PSK | (C) QPSK | (D) 2FSK |
| (23) | (A) 0 | (B) 0.0001 | (C) 0.0002 | (D) 0.0004 |

注: DPSK 采用相干解调+差分译码方案时存在差错传播的问题。在差分译码的输入中, 如果某个比特出错, 差分译码输出往往会出现连续两个比特差错。

13. 设 OOK、2PSK 和 QPSK 已调信号的主瓣带宽相同, 载波幅度分别是 A_{OOK} 、 A_{2PSK} 和 A_{QPSK} 。若在相同噪声功率谱密度 N_0 的条件下最佳接收的误比特率相同, 则 $\frac{A_{OOK}}{A_{2PSK}} = (24)$, $\frac{A_{OOK}}{A_{QPSK}} = (25)$ 。

| | | | | |
|-----------|-------|----------------|-------|-------|
| (24) (25) | (A) 1 | (B) $\sqrt{2}$ | (C) 2 | (D) 4 |
|-----------|-------|----------------|-------|-------|

注: 误比特率公式是 $P_{OOK} = \frac{1}{2} \operatorname{erfc} \left(\sqrt{\frac{E_b}{2N_0}} \right)$ 、 $P_{BPSK} = P_{QPSK} = \frac{1}{2} \operatorname{erfc} \left(\sqrt{\frac{E_b}{N_0}} \right)$

OOK、2PSK 和 QPSK 的比特能量分别是 $\frac{A_{OOK}^2 T_b}{4}$ 、 $\frac{A_{OOK}^2 T_b}{2}$ 、 $\frac{A_{QPSK}^2 T_b}{2} = \frac{A_{QPSK}^2 T_s}{4}$ 。主瓣带宽相同说明 T_s 相同。

14. 下列调制方式中, 只能相干解调的是(26)。

| | | | | |
|------|---------|-----------|----------|----------|
| (26) | (A) OOK | (B) 2DPSK | (C) 2FSK | (D) 2PSK |
|------|---------|-----------|----------|----------|

注: OOK 可以像 AM 那样用包络检波器来解调。2FSK 是两个 OOK 之和, 故可以用两个包络检波器来解调 2FSK。2DPSK 采用差分相干解调时, 不需要收端提取载波, 故此属于非相干解调。

15. 二进制码组(1011001)与(1010000)之间的汉明距离是(27)。

| | | | | |
|------|-------|-------|-------|-------|
| (27) | (A) 0 | (B) 1 | (C) 2 | (D) 3 |
|------|-------|-------|-------|-------|

16. 某线性分组码的最小码距是 5, 该码可以保证纠正(28)位错。

| | | | | |
|------|-------|-------|-------|-------|
| (28) | (A) 1 | (B) 2 | (C) 3 | (D) 4 |
|------|-------|-------|-------|-------|

17.线性分组码的生成矩阵为 $G = \begin{pmatrix} 1 & 0 & 0 & 0 & 1 & 1 & 1 \\ 0 & 1 & 0 & 0 & 1 & 1 & 0 \\ 0 & 0 & 1 & 0 & 1 & 0 & 1 \\ 0 & 0 & 0 & 1 & 0 & 1 & 1 \end{pmatrix}$ ，其监督矩阵为(29)。

| | | |
|------|--|---|
| (29) | (A) $H = \begin{pmatrix} 1 & 0 & 0 & 0 & 1 & 1 & 1 \\ 0 & 1 & 0 & 0 & 1 & 1 & 0 \\ 0 & 0 & 1 & 0 & 1 & 0 & 1 \\ 0 & 0 & 0 & 1 & 0 & 1 & 1 \end{pmatrix}$ | (B) $H = \begin{pmatrix} 1 & 1 & 1 & 0 & 1 & 0 & 0 \\ 1 & 1 & 0 & 1 & 0 & 1 & 0 \\ 1 & 0 & 1 & 1 & 0 & 0 & 1 \end{pmatrix}$ |
| | (C) $H = \begin{pmatrix} 1 & 0 & 0 & 1 & 1 & 1 & 0 \\ 0 & 1 & 0 & 1 & 1 & 0 & 1 \\ 0 & 0 & 1 & 1 & 0 & 1 & 1 \end{pmatrix}$ | (D) $H = \begin{pmatrix} 1 & 1 & 1 & 0 & 1 & 0 & 0 \\ 1 & 1 & 0 & 1 & 0 & 1 & 1 \\ 1 & 0 & 1 & 1 & 0 & 0 & 0 \end{pmatrix}$ |

18.若线性分组码的监督矩阵为 $H = \begin{pmatrix} 1 & 1 & 1 & 0 & 1 & 0 \\ 1 & 1 & 0 & 1 & 0 & 1 \\ 1 & 0 & 1 & 1 & 0 & 0 \end{pmatrix}$ ，则接收到 $\mathbf{y}=(110000)$ 时的伴随式（校正子） $\mathbf{s} = \mathbf{y}H^T$ 为(30)。

| | | | | |
|------|---------|---------|---------|---------|
| (30) | (A) 111 | (B) 000 | (C) 001 | (D) 110 |
|------|---------|---------|---------|---------|

注： \mathbf{y} 的前两个元素是 1，故 \mathbf{s} 是 H 的前两列之和的转置。

二. 判断题

答题表后面有 12 个小题。判断每个小题的称述是否正确。对于第 k 题，如果认为正确，就在答案 c_k 行中对应的序号下填 1，否则填 0。例如第 12 题的称述是正确的，故 $c_{12}=1$ 。

答题表

| 题号 k | 1 | 2 | 3 | 4 | 5 | 6 | 7 | 8 | 9 | 10 | 11 | 12 |
|----------|---|---|---|---|---|---|---|---|---|----|----|----|
| 答案 c_k | | | | | | | | | | | | 1 |

1. 无论发送数据是否为独立等概序列，DPSK 与 2PSK 有相同的功率谱密度。
2. 2FSK 的两个波形之间的归一化相关系数最小可以小于零。
3. 与 QPSK 相比，OQPSK 改善了包络起伏，但频带利用率略有下降。
4. 固定星座点之间的最小距离，MQAM 星座图中的点数 M 增加一倍时，平均符号能量也增加一倍。

5. 对于固定的 E_s/N_0 , MFSK 的误符号率随着 M 的增加而增加。
6. 对于固定的 E_s/N_0 , MQAM 的误符号率随着 M 的增加而增加。
7. 假设 A 律十三折线编码器的动态范围是 ± 4096 个量化单位。若输入样值是 +2015 量化单位, 则编码输出是 11111001。
8. 16QAM 可以采用差分相干解调。
9. 假设 2FSK 的在 $[0, T_b]$ 内的两个信号是 $s_1(t) = \cos 2\pi f_1 t$ 和 $s_2(t) = \cos 2\pi f_2 t$ 。若频差 $|f_1 - f_2| = \frac{1}{2T_b}$ 时的误比特率是 P_1 , 频差 $|f_1 - f_2| = \frac{1}{4T_b}$ 时的误比特率是 P_2 , 则 $P_2 > P_1$ 。
10. A 律或 μ 律对数量化与 Lloyd-Max 最佳量化等价。
11. 对于任意的 (n, k) 线性分组码 ($1 < k < n$), 其校验矩阵 H 的所有列线性相关。
12. 答题表中的 $c_1 c_2 \cdots c_{12}$ 构成了一个偶校验码。

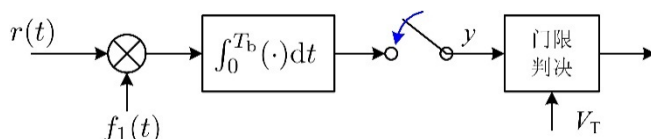
注:

5. 固定 N_0 、固定 E_s 时, MFSK 星座点之间的距离是 $\sqrt{2E_s}$, 与 M 无关。但 M 增加时, 接收端的选项增多, 所以错误率增加。好比单项选择题, 对于相同的题, 将候选项从 4 个减少到 2 个后, 答错的概率会降低。
9. 两个信号之间的欧氏距离平方是

$$\begin{aligned}
 d_{12}^2 &= \int_0^{T_b} (\cos 2\pi f_1 t - \cos 2\pi f_2 t)^2 dt \\
 &= \int_0^{T_b} \cos^2 2\pi f_1 t dt + \int_0^{T_b} \cos^2 2\pi f_2 t dt - 2 \int_0^{T_b} \cos 2\pi f_1 t \cos 2\pi f_2 t dt \\
 &\approx \frac{T_b}{2} + \frac{T_b}{2} - \int_0^{T_b} \cos 2\pi(f_1 - f_2)t dt = T_b - \frac{\sin 2\pi(f_1 - f_2)T_b}{2\pi(f_1 - f_2)}
 \end{aligned}$$

由此可知, $|f_1 - f_2| = \frac{1}{2T_b}$ 时的距离比 $|f_1 - f_2| = \frac{1}{4T_b}$ 时大。

三. (14 分) 某二进制调制系统在 $[0, T_b]$ 内等概发送 $s_1(t) = f_1(t)$ 或 $s_2(t) = -f_1(t)$ 之一, 其中 $f_1(t) = \sqrt{\frac{2}{T_b}} \cos 2\pi f_c t$ 是归一化基函数。发送信号叠加了白高斯噪声 $n_w(t)$ 后成为 $r(t) = s_i(t) + n_w(t)$ 。接收框图如下所示, 其中 $y = \int_0^{T_b} r(t)f_1(t)dt$, V_T 是判决门限, $y \geq V_T$ 时判发 $s_1(t)$, 否则判发 $s_2(t)$ 。



- (1) 求发送 $s_1(t)$ 条件下 y 的均值、方差，写出条件概率密度函数 $p(y|s_1)$;
- (2) 令 q_1 、 q_2 分别表示发送 $s_1(t)$ 、 $s_2(t)$ 条件下的错判概率。若 $V_T=0$ ，试求 q_1 、 q_2 以及平均误比特率 P_b ;
- (3) 若 $V_T=1$ ，试求 q_1 、 q_2 。

解：(1) 发送 $s_1(t)$ 条件下 y 为

$$y = \int_0^{T_b} r(t)f_1(t)dt = \int_0^{T_b} [f_1(t) + n_w(t)]f_1(f)dt$$

$$= 1 + z$$

其中 $z \sim \mathcal{N}(0, \frac{N_0}{2})$ 。因此，发送 $s_1(t)$ 条件下 y 的均值是 1，方差是 $N_0/2$ ，条件概率密度函数是 $p(y|s_1) = \frac{1}{\sqrt{\pi N_0}} \exp \left[-\frac{(y-1)^2}{N_0} \right]$

(2)发送 $s_1(t)$ 而判错的概率是

$$q_1 = \Pr\{1 + z < 0\} = \Pr\{z < -1\} = \Pr\{z > 1\} = \frac{1}{2} \operatorname{erfc} \left(\frac{1}{\sqrt{N_0}} \right)$$

根据对称性可知 $q_1 = q_2$ ，平均误比特率是 q_1, q_2 的平均，故

$$P_b = q_1 = q_2 = \frac{1}{2} \operatorname{erfc} \left(\frac{1}{\sqrt{N_0}} \right)$$

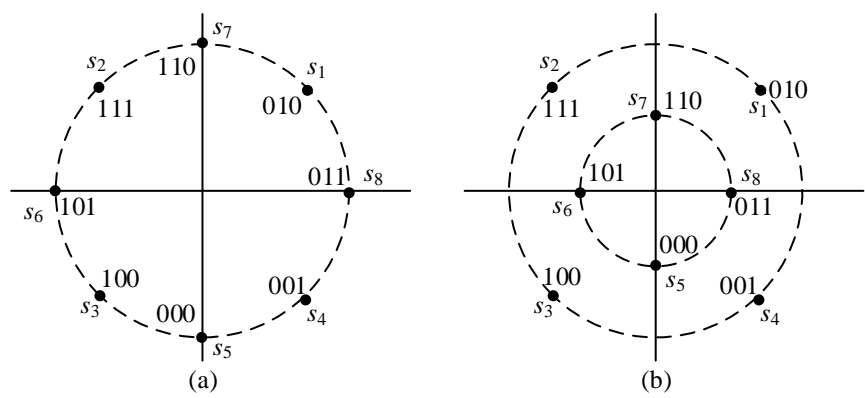
(3)发送 $s_1(t)$ 而判错的概率是 $q_1 = \Pr\{1 + z < 1\} = \Pr\{z < 0\} = \frac{1}{2}$ 。

发送 $s_2(t)$ 时 $y = -1 + z$ ， $q_2 = \Pr\{-1 + z < 1\} = \Pr\{z < 2\} = \frac{1}{2} \operatorname{erfc} \left(\frac{2}{\sqrt{N_0}} \right)$

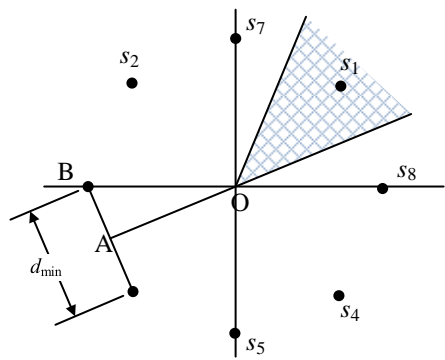
四. (16 分) 下图是归一化正交基下的八进制星座图，8 个星座点等概出现。图(a)是 8PSK，图中圆的半径是 1。图(b)的星座图上下左右对称，外圆半径是 1， s_7 与 s_1 、 s_2 、 s_6 、 s_8 等距离。

- (1) 在图(a)中标出星座点 s_1 的最佳判决域，并求星座点之间的最小欧氏距离 d_{\min} ;
- (2) 在图(b)中标出星座点 s_1 的最佳判决域示意图，并求出内圆半径、此星座图的平均符号能量 E_s 以及星座点之间的最小欧氏距离 d_{\min} ;
- (3) 若 E_s/N_0 相同，图(a)和图(b)所对应的两个调制系统中哪个的误符号率低?

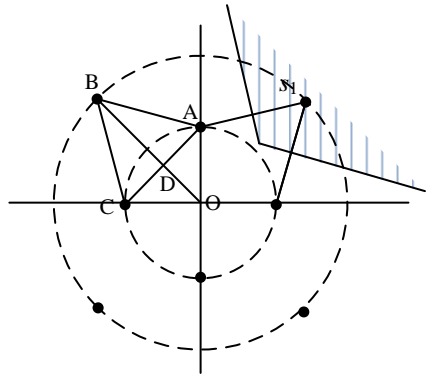
(4) 若误符号率相同，图(a)和图(b)所对应的两个调制系统中，哪个的误比特率低？



解：(1) s_1 的最佳判决域如下图中的阴影区所示。最小距离可按图中的直角三角形 OAB 来计算，结果是 $2\sin\frac{\pi}{8}$ 。



(2) s_1 的最佳判决域如下图中的阴影区所示（注意判决域不超出第一象限）。



设内圆半径是 x ，则等腰三角形 AOC 的腰长是 x ，等边三角形 ABC 的边长是 $\sqrt{2}x$ 。在三角形 OAB 中， $OB=1$ ， $\angle OAB=105^\circ=\frac{7\pi}{12}$ ，可列出方程

$$x^2 + 2x^2 - 2 \cdot x \cdot \sqrt{2}x \cdot \cos \frac{7\pi}{12} = 1$$

$$\text{解得 } x = \frac{1}{\sqrt{3+2\sqrt{2}\sin\frac{\pi}{12}}}。$$

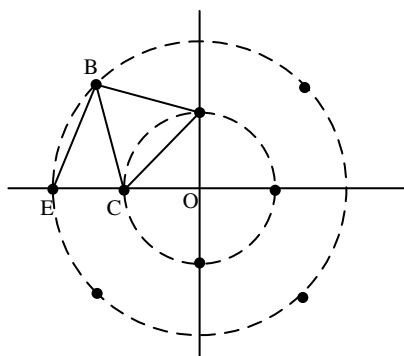
$$\text{也可以根据 } DB = AB \cdot \sin \frac{\pi}{2}, OD = OA \cdot \cos \frac{\pi}{4} \text{ 列出方程 } \frac{x}{\sqrt{2}} + \sqrt{2}x \sin \frac{\pi}{3} = 1, \text{ 得}$$

$$x = \frac{\sqrt{2}}{1+\sqrt{3}}$$

$$\text{平均符号能量是 } \frac{1}{2} + \frac{x^2}{2}$$

$$d_{\min} = \sqrt{2}x$$

(3) 图 b 相当于是把图 a 中的 4 个点向原点方向收缩形成的。参考下图，目测 BE 和 BC 近似相等（实际上 BE 大一点，算一下三角形 BEC 的内角可以判断出这一点）。但 C 点的能量要比 E 点小很多（能量是长度的平方，目测 C 和 E 的能量大约差 4 倍）。题中条件是 E_s/N_0 相同，因此图 b 中的 N_0 要比图 a 明显小，而最小距离大体差不多，由此可以推断出：图 b 的误符号率比图 a 低。



(4) 图 a 是格雷映射，图 b 不是，故当误符号率相同时，图 a 的误比特率更低。

五. (16 分) 设 X 在区间 $(0,8)$ 内均匀分布。将 X 通过一个 4 电平量化器后成为 $Y = Q(X) \in \{y_1, y_2, y_3, y_4\}$ 。对于 $k = 1, 2, 3, 4$ ，当 X 的取值在区间 $[x_{k-1}, x_k)$ 时， Y 的取值是 $y_k = \frac{1}{2}(x_k + x_{k-1})$ ，其中 $x_0=0$ 、 $x_4=8$ 。

- (1) 写出 X 的概率密度函数 $p(x)$ ，求 X 的平均功率 $S = \mathbb{E}[X^2]$ ；
- (2) 若 $Q(X)$ 是均匀量化，写出 y_1, y_2, y_3, y_4 的值，求量化后信号的功率 $S_q = \mathbb{E}[Y^2]$ 以及量化噪声功率 $N_q = \mathbb{E}[(X - Y)^2]$ ；

(3) 若对于 $k = 1, 2, 3$, $x_k = 2^{k-1}$, 写出 y_1, y_2, y_3, y_4 的值, 求量化后信号的功率 $S_q = \mathbb{E}[Y^2]$ 以及量化噪声功率 $N_q = \mathbb{E}[(X - Y)^2]$ 。

解: (1) $p(x) = \frac{1}{8}, x \in (0, 8)$, $S = 21 + \frac{1}{3}$ 。

计算 S 时, 除了可以按 $\int_0^8 x^2 p(x) dx$ 来做之外, 还可以这样做: X 的均值是 4, 方差是 $\frac{8^2}{12} = \frac{16}{3}$, 故 $\mathbb{E}[X^2] = 4^2 + \frac{16}{3}$ 。

(2) y_1, y_2, y_3, y_4 的值分别是 1、3、5、7; 其出现概率都是 $\frac{1}{4}$, 平均功率是 $S_q = \frac{1}{4}[1^2 + 3^2 + 5^2 + 7^2] = 21$;

N_q 答案是 $\frac{1}{3}$ 。求法一: $N_q = \mathbb{E}[(X - Y)^2] = \sum_{k=1}^4 \int_{x_{k-1}}^{x_k} (x - y_k)^2 p(x) dx$

求法二: 量化误差在每个量化区间内都是在 $[-1, 1]$ 内均匀分布, 其方差为 $\frac{2^2}{12} = \frac{1}{3}$

求法三: 当量化电平是量化区间的概率质心时, 有这样的性质: $S = S_q + N_q$

求法四: 考虑将 $X' = X - 4$ 通过一个范围是 $[-4, 4]$ 的 4 电平均匀量化器得到 Y' , 然后对量化前和量化后的信号 X', Y' 统一加上 4, 就和本小题等价。两者有相同的量化噪声功率: $\mathbb{E}[(X' - Y')^2] = \mathbb{E}[(X - Y)^2] = N_q$ 。因为是均匀量化, 所以前者的量化信噪比是 $\frac{\mathbb{E}[X'^2]}{N_q} = 4^2$, 而 $\mathbb{E}[X'^2]$ 是 X 的方差, 是 $\frac{16}{3}$ 。由此可以推出 $N_q = \frac{1}{3}$

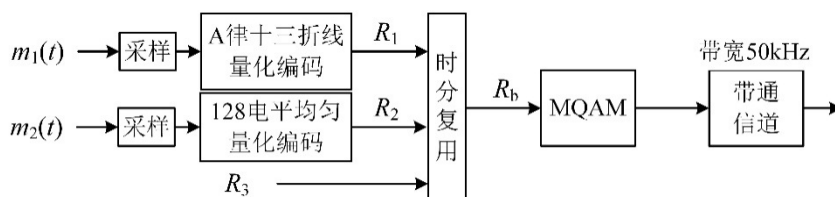
(3) 4 个量化区间分别是 $[0, 1)$ 、 $[1, 2)$ 、 $[2, 4)$ 和 $[4, 8]$, y_1, y_2, y_3, y_4 的值分别是 0.5、1.5、3、6, 出现概率分别是 $\frac{1}{8}$ 、 $\frac{1}{8}$ 、 $\frac{1}{4}$ 和 $\frac{1}{2}$ 。

$S_q = \frac{1}{8}(0.5^2 + 1.5^2) + \frac{1}{4} \cdot 3^2 + \frac{1}{2} \cdot 6^2 = 20 + \frac{9}{16}$ 。

4 个量化区间中的量化噪声功率分别是 $\frac{1}{12}$ 、 $\frac{1}{12}$ 、 $\frac{2^2}{12}$ 和 $\frac{4^2}{12}$, 平均值为

$N_q = \frac{1}{8}(\frac{1}{12} + \frac{1}{12}) + \frac{1}{4} \cdot \frac{4}{12} + \frac{1}{2} \cdot \frac{16}{12} = \frac{37}{48}$ (或者 $N_q = S - S_q$)

六. (18 分) 下图中 $m_1(t)$ 是基带信号, 其最高频率为 f_1 ; $m_2(t)$ 是带通信号, 其频谱范围是 $[5\text{kHz}, f_2]$ 。图中的采样速率都是 8kHz。 $m_1(t)$ 的样值采用 A 律十三折线编码, 输出速率是 R_1 ; $m_2(t)$ 的样值采用 128 电平的均匀量化编码, 输出速率是 R_2 。 R_1 、 R_2 与另外一路速率为 R_3 的数据复用为一路速率为 $R_b = 160\text{kb/s}$ 的数据。然后经 MQAM 调制后通过一个带宽为 50kHz 的频带信道传输。



- (1) 求 R_1 、 R_2 、 R_3 的数值；
- (2) 求能使采样不发生频谱混叠的最大 f_1 、 f_2 值；
- (3) 确定 MQAM 的进制数 M 及滚降因子 α ；（要求 M 尽量小， α 尽量大）；
- (4) 画出 MQAM 调制及解调框图。

解：(1) $f_s = 8\text{kHz}$, $R_1 = 8f_s = 64\text{kbps}$, $R_2 = 7f_s = 56\text{kbps}$, $R_3 = 160 - 64 - 56 = 40\text{kbps}$

(2) $m_1(t)$ 是基带信号，采样率与 f_1 的关系是 $f_s \geq 2f_1$ ，故 f_1 最高是 4kHz ；

$m_2(t)$ 是带通信号，最小采样率应满足 $f_s = \frac{2f_2}{k}$ 且 $\frac{f_2}{k} \geq W$ ，其中 $W = f_2 - 5\text{k}$ 是 $m_2(t)$ 的带宽。由此可得 f_2 最高是 $f_2 = 8\text{kHz}$ 。

(3) 信道带宽是 50kHz ，传输速率是 160kbps ，频带利用率至少是 $160/50 > 3$ ，因此调制的进制数必须 $M > 2^3$ ，取 $M=16$ 则符号速率是 40kBaud ，奈奎斯特极限带宽是 40kHz ，滚降后的带宽是 50kHz ，故滚降因子是 $\alpha=0.25$ 。

(4) 收发框图如下

